

# การประเมินประสิทธิภาพการทำงานของระบบลำเลียงแสงชั้นโคตรอนแรกของเครื่องกำเนิดแสงสยาม

ประยูร สังสิริฤทธิ์กุล<sup>1,2\*</sup>, ปันภูษา สมบูรณ์<sup>1</sup>, อุพัฒน์ กัจินเจีย<sup>1</sup>, เสกสรร ถึงกlong<sup>1</sup>,  
วีระพงษ์ แพสุวรรณ<sup>1,3</sup>, ทากะอิโก อิชิอิ<sup>4</sup>, อาทิต คากิชา基<sup>5</sup>

*Songsiririthigul, P.<sup>1,2\*</sup>, Sombunchoo, P.<sup>1</sup>, Klinkhien, S.<sup>1</sup>, Thungklang, S.<sup>1</sup>, Pairsuwan, W.<sup>1,3</sup>, Ishii, T.<sup>1,4</sup> and Kakizaki, A.<sup>1,5</sup> (2001). Evaluation of the Performance of the First Beamline for the Siam Photon Source. Suranaree J. Sci. Technol. 8:189-195.*

## Abstract

The performance of the first beamline for the Siam Photon Source has been evaluated by using a computer ray tracing program. The effects of collecting power of the gratings on the energy resolution of the beamline have been studied. Optical aberrations increase with the increasing collecting power and this results in the reduction of the resolution. It is found that monochromatized light with an energy resolution of  $2 \times 10^{-4}$  and with a photon flux sufficient for photoemission experiments can be obtained from this beamline.

Keywords : Beamline, monochromator, vacuum ultraviolet, soft x-rays, ray tracing

## บทคัดย่อ

การประเมินประสิทธิภาพการทำงานของระบบลำเลียงแสงชั้นโคตรอนแรกของเครื่องกำเนิดแสงสยามได้ถูกประเมินโดยใช้โปรแกรมคอมพิวเตอร์ จากการศึกษาผลกระทบของขนาดของพื้นที่ที่แสงตกกระแทบบนเกรติงเลี้ยวเบนต่อความสามารถในการแยกและพัฒนา พนักงานการที่พื้นที่ดังกล่าวมีริเวณเพิ่มขึ้นจะทำให้เกิดความบิดเบี้ยวของภาพมีมากเพิ่มขึ้นตาม ดังผลให้ความสามารถในการแยกและพัฒนาลดลง จากการศึกษาพบว่า แสงที่ถูกคัดเลือกพัฒนาแล้วและมีความสามารถในการแยกและพัฒนาเท่ากับ  $2 \times 10^{-4}$  มีความเข้มเพียงพอสำหรับการทดลองทางคานโยโน米ชัน

\* ศูนย์ปฏิบัติการวิจัยเครื่องกำเนิดแสงชั้นโคตรอนแรกแห่งชาติ กระทรวงวิทยาศาสตร์ เทคโนโลยีและสื่อสารมวลชน

<sup>1</sup> Ph.D., อาจารย์ สาขาวิชาฟิสิกส์ สำนักวิทยาศาสตร์ มหาวิทยาลัยเทคโนโลยีสุรนารี

<sup>2</sup> Ph.D., รองศาสตราจารย์ สาขาวิชาฟิสิกส์ สำนักวิทยาศาสตร์ มหาวิทยาลัยเทคโนโลยีสุรนารี

<sup>3</sup> Ph.D., ศาสตราจารย์ สาขาวิชาฟิสิกส์ สำนักวิทยาศาสตร์ มหาวิทยาลัยเทคโนโลยีสุรนารี

<sup>4</sup> Ph.D., ศาสตราจารย์ Institute of Materials Structure Science, High Energy Accelerator Research Organization, Ibaraki 305-0801, Japan.

\* ผู้เขียนที่ให้การติดต่อ

## บทนำ

การประเมินประสิทธิภาพการทำงานของระบบคำนวณแสงซึ่งในโครงสร้างโดยอาศัยการคำนวณโดยใช้ทางฟังก์ชันเส้นทางเดินของแสง (optical path function) มีปัจจัยหลักสามประการที่ทำให้มีความซุ่มยากเป็นอย่างมาก ได้แก่ (1) แหล่งกำเนิดแสงซึ่งในโครงสร้างนี้ขาดไม่เป็นสูญเสีย (2) แสงที่ปลดปล่อยออกมายังแต่ละคำนวณที่ต้องคำนวณและ (3) แสงที่ปลดปล่อยออกมายังทางเดินของแสงที่ต้องคำนวณเพื่อคำนวณต่อไป ดังนั้นในการวิเคราะห์และประเมินประสิทธิภาพการทำงานของระบบคำนวณแสงซึ่งในโครงสร้างนี้ที่ต้องใช้คอมพิวเตอร์ในการคำนวณทางเดินของแสง คำนวณโดยใช้เทคนิคที่เรียกว่า Monte Carlo Method ใน การทำการคำนวณดังกล่าวเป็นการทำ Ray tracing นั้นคือการติดตามเส้นทางเดินของแสงจากแหล่งกำเนิดไปยังคำนวณที่ต้องการนำเสนอในโครงสร้างไปใช้ประโยชน์ ทำให้เราทราบถูกต้องของแสงที่จะนำไปใช้ประโยชน์ ข้อมูลดังกล่าวมีประโยชน์อย่างยิ่งต่อการพัฒนาระบบคำนวณแสงซึ่งในโครงสร้างนี้ในปัจจุบัน มีโปรแกรมคอมพิวเตอร์สำหรับการทำ Ray tracing หลายโปรแกรม เช่นอยู่สองโปรแกรมที่มีการยอมรับและนำไปใช้ในห้องปฏิบัติการวิจัยเกี่ยวกับแสงซึ่งในโครงสร้างหลายแห่ง โปรแกรมดังกล่าวคือ RAY (Schaefers, 1996) และ SHADOW (Lai and Cerrina, 1986)

บทความนี้ เป็นการรายงานผลการศึกษาและประเมินระบบคำนวณแสงซึ่งในโครงสร้างแรกของเครื่องคำนวณแสงซึ่งในห้องปฏิบัติการวิจัยเกี่ยวกับแสงซึ่งในโครงสร้าง โดยมีรายละเอียดแสดงในบทความที่นำเสนอพร้อมกันในวารสารฉบับนี้ (ประชุม ผู้เชี่ยวชาญที่สุด และคณาจารย์ 2544)

## Ray tracing

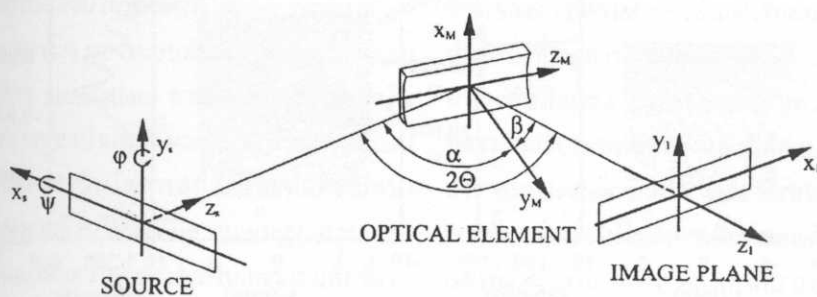
โปรแกรมที่ใช้ในการศึกษาและประเมินระบบคำนวณ

แสงซึ่งในโครงสร้างในงานนี้คือโปรแกรม RAY version 24.1 ใช้งานบนระบบปฏิบัติการ OpenVMS version 7.1 บนเครื่องคอมพิวเตอร์ ALPHA server 4100 โปรแกรม RAY ดังกล่าวสามารถคำนวณการทำงานของระบบคำนวณแสงซึ่งในโครงสร้าง และทำให้ได้มาซึ่งคุณลักษณะต่าง ๆ ของแสง เช่น ขนาด การกระจายของความเข้ม การกระจายของค่าพลังงานของแสง เป็นต้น) ณ ตำแหน่งต่าง ๆ ของระบบคำนวณแสง ใน การคำนวณการทำงานของระบบคำนวณแสงซึ่งในโครงสร้างเริ่มต้นจากชุดของรังสีของแสงซึ่งถูกกำหนดขึ้นอย่างถูกต้องแล้วก็คำนวณแสงซึ่งในโครงสร้างที่ปลดปล่อยออกมายังทางเดินของแสงที่ต้องคำนวณเพื่อคำนวณแสงซึ่งในโครงสร้างนี้ ที่ต้องคำนวณของเครื่องคำนวณแสงซึ่งในโครงสร้าง หลังจากนั้น เป็นการติดตามรังสีของแสงเมื่อแสงตกกระทบหรือผ่านระบบของอุปกรณ์ต่าง ๆ เช่น กระจก (Mirror), slits และ เกรตติ้งสีขาวบน (Diffraction grating) โดยอาศัยกฎต่าง ๆ ทางฟิสิกส์ของแสง จนกระทั่งมีการเก็บภาพบนระนาบของภาพ (Image plane) ณ ตำแหน่งที่ต้องการ

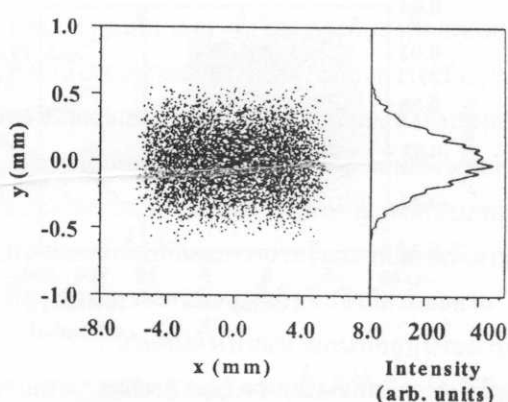
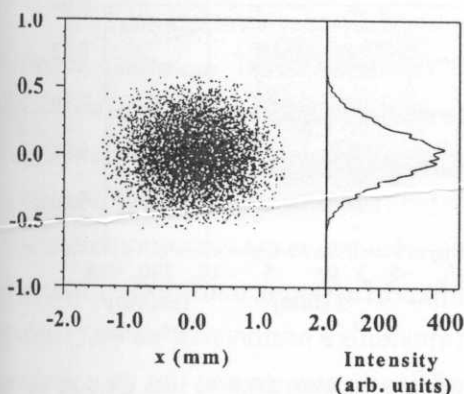
รูปที่ 1 แสดงระบบพิกัดและมุมต่าง ๆ ที่ใช้ในการศึกษาและประเมินระบบคำนวณแสงซึ่งในโครงสร้างนี้ ส่วนคุณลักษณะของแหล่งกำเนิดของแสงซึ่งในโครงสร้างถูกกำหนดโดยคุณลักษณะของคำนวณที่แสงซึ่งเป็นริเวณที่แสงซึ่งใน bending magnet ของวงแหวนก็เป็นอิสระของคุณลักษณะของแหล่งกำเนิดของแสงซึ่งในโครงสร้าง รายละเอียดของคุณลักษณะของแหล่งกำเนิดของแสงซึ่งในโครงสร้างที่ 1 สำหรับรายละเอียดของระบบแสงซึ่งในโครงสร้างที่ 2 ศึกษาในงานนี้แสดงในบทความที่นำเสนอพร้อมกันในวารสารฉบับนี้ (ประชุม ผู้เชี่ยวชาญที่สุด และคณาจารย์ 2544)

## ผลและการอภิปราย

รูปที่ 2 ถึงรูปที่ 4 แสดงภาพตัวอย่างของคำนวณและ

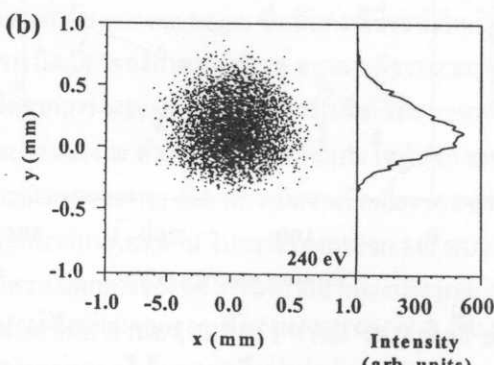
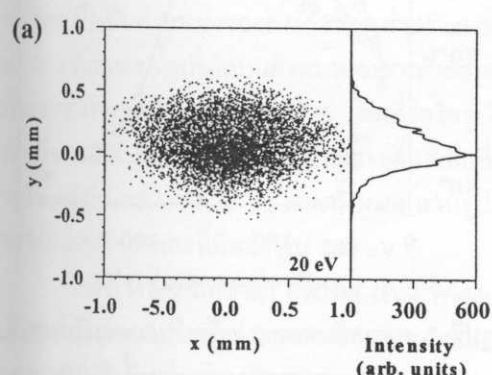


รูปที่ 1. ระบบพิกัดและมุมต่าง ๆ ที่ใช้ในโปรแกรมคอมพิวเตอร์ในการทำการ Simulations

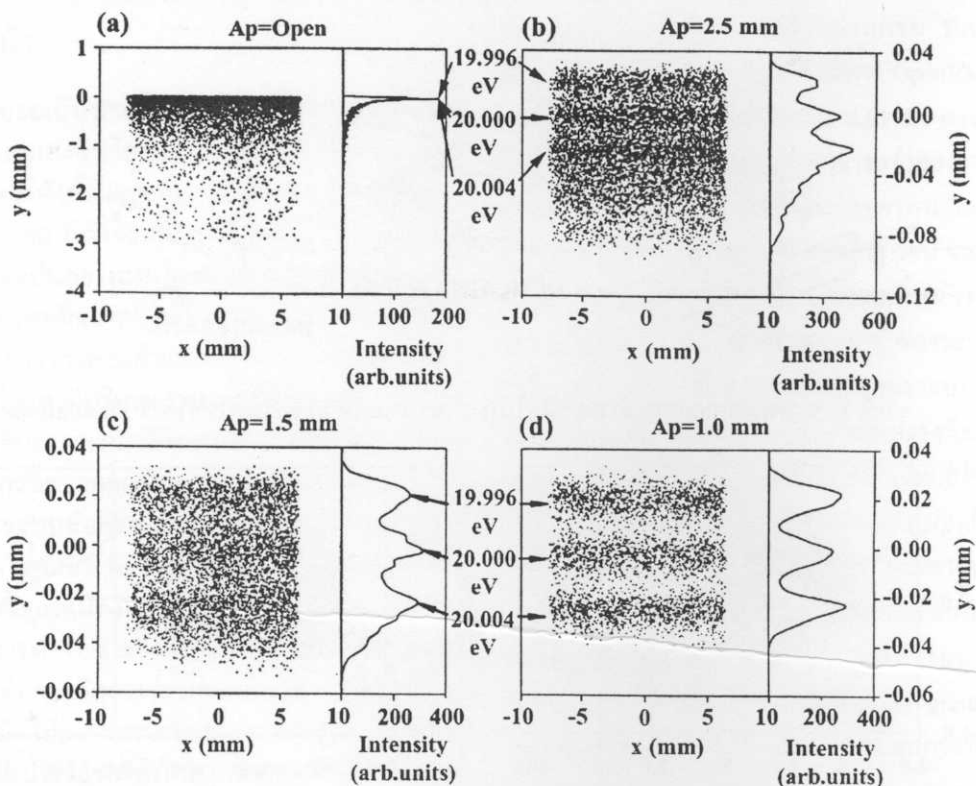


รูปที่ 2. ภาพแสดงแหล่งกำเนิดของแสงชนิคตรอน  
ที่ได้จากการ simulation

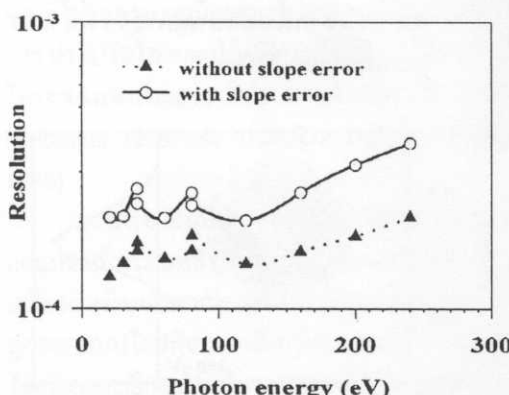
รูปที่ 3. ภาพที่เกิดขึ้น ณ ตำแหน่งของ entrance  
slit หลังจากที่แสงจากแหล่งกำเนิดตก  
ลงบนกระดก M0



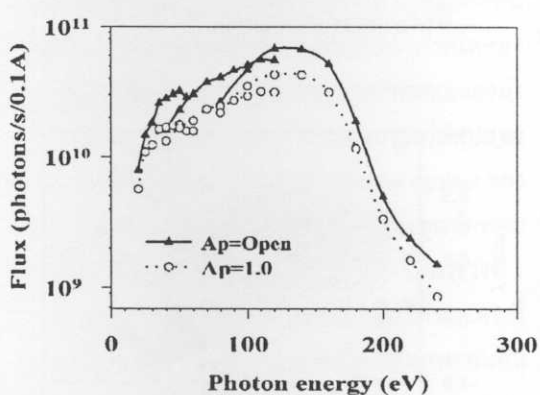
รูปที่ 4. ภาพที่เกิดขึ้น ณ ตำแหน่งของสารตัวอย่างหลังจากที่แสงจากแหล่งกำเนิดที่มีพลังงาน (a) 20 eV  
และ (b) 240 eV ตกบนกระดก M2



รูปที่ 5. ภาพที่เกิดขึ้นและ Line profiles ของแสงที่มีพลังงาน 19.996, 20.000 และ 20.004 eV ณ ตำแหน่งของ exit slit สำหรับขนาดของช่องเปิดของ Aperture ที่ต่างกัน



รูปที่ 6. ค่าความสามารถในการแยกแยะพลังงานของระบบลำเลียงแสงได้จากการทำ simulations เมื่อไม่มีการพิจารณาและมีการพิจารณาผลของ slope error ของกระบอกและเกรติง



รูปที่ 7. ความเข้มของแสงหรือปริมาณของโฟตอนที่ตกกระทบสารตัวอย่างต่อหนึ่งวินาที

การกระจายความเข้มของแสงในแนวแกนตั้ง (line profile) ของแสงซินไครอตรอนที่มีพลังงานเท่ากับ 20 eV ณ ตำแหน่งต่าง ๆ ของระบบดำเนินการซินไครอตรอน ที่ได้จากการ simulations ความหนาแน่นของชุดในภาคตัดขวางของลำแสงนั้นแสดงถึงความหนาแน่น ของรังสีของแสงซินไครอตรอน บริเวณที่มีความหนาแน่นมากหมายถึงบริเวณที่มีความเข้มสูง ส่วน line profile นั้นแสดงความถี่ของรังสีในแนวแกนตั้ง ซึ่งบ่งบอกถึงลักษณะการกระจายของความเข้มในแนวแกนตั้ง

รูปที่ 2 แสดงผลลัพธ์การทดลองของแสงซินไครอตรอน ที่ได้จากการ simulations โดยใช้ค่าตัวแปรต่าง ๆ ของตัวอิเล็กตรอนจากตารางที่ 1 การกระจายของความเข้มของแสงที่ปล่อยออกมานั้นมีลักษณะเป็นแบบ Gaussian รังสีของแสงซินไครอตรอนจากแหล่งกำเนิดมีอุบัติการณ์ทางกรอบ M0 จะสะท้อนในแนวแกนนอนและถูกไฟกั๊กในแนวแกนตั้งให้ไปรวมกัน ณ ตำแหน่ง 7300 nm. ห่างจากกรอบ ซึ่งเป็นตำแหน่งของ entrance slit ของ monochromator ภาพที่เกิดขึ้นและลักษณะของ line profile ณ ตำแหน่งดังกล่าว แสดงในรูปที่ 3 กระดก M2 ทำหน้าที่สะท้อนแสงในแนวแกนตั้งและไฟกั๊กสวิงรังสีของแสงที่ผ่าน monochromator ไปรวมกันที่ระยะทาง 1600 nm. ห่างจากกระดก M2 ซึ่งเป็นตำแหน่งของสารตัวอย่างสำหรับการทดสอบ ลักษณะภาพที่เกิดบนผิวน้ำของสารตัวอย่าง ที่จะทำการทดสอบแสดงในรูปที่ 4 ภาพที่ได้ในรูป 4a เป็นกรณีที่ slits ต่าง ๆ ถูกปิดให้กว้างเดือนที่เพื่อที่จะให้แสงที่มีพลังงาน 20 eV ผ่านทั้งหมด ส่วนรูป 4b เป็นกรณีของแสงที่มีพลังงาน 240 eV

ตารางที่ 2 แสดงค่า FWHM (Full Width at Half Maximum) ของการกระจายของความเข้มของแสงที่มีพลังงาน 20 และ 240 eV ในแนวแกนนอนและในแนวแกนตั้ง ณ ตำแหน่งต่าง ๆ ของระบบดำเนินการซินไครอตรอน ที่ได้จากการ simulations ปริมาณดังกล่าวบ่งบอกถึงขนาดของลำแสง เมื่อพิจารณาเฉพาะ

อัตราขยายของขนาดลำแสงในแนวแกนนอนหรือสัดส่วนของค่า FWHM ของลำแสงในแนวแกนนอน ณ ตำแหน่งที่วางสารตัวอย่างต่อขนาด ณ ตำแหน่งของแหล่งกำเนิดแสง ในการออกแบบค่าอัตราส่วนดังกล่าวสำหรับระบบถ่ายเสียงนี้คือ 0.40 จากการทำการ simulations โดยใช้ slits ทั้งหมดเปิดกว้างให้แสงทั้งหมดผ่านไปได้ พบว่าอัตราขยายดังกล่าวสำหรับแสงที่มีพลังงาน 20 eV มีค่าเท่ากับ 0.68 ซึ่งแตกต่างเป็นอย่างมากเมื่อเทียบกับค่าที่ออกแบบไว้ สำหรับแสงที่มีพลังงาน 240 eV นั้นอัตราขยายในแนวแกนนอนมีค่าเท่ากับ 0.41 ซึ่งใกล้เคียงกับค่าที่ออกแบบทั้งนี้เนื่องจากว่าแสงที่มีพลังงานที่สูงกว่าจะมีความถี่มากกว่าแสงที่มีพลังงานที่ต่ำกว่าเมื่อแสงทั้งสองค่า พลังงานถูกปิดปotropic ออกจากแหล่งกำเนิดโดยทันที และในตารางที่ 3 จึงสังผ对比ที่ที่แสงทดลองบนกระชากมีพื้นที่ที่น้อยกว่าสำหรับแสงที่มีค่าพลังงานที่สูง ดังนั้น aberrations ที่เกิดขึ้นจะมีค่าน้อยตาม

แนวแกนตั้งเป็นแนวแกนที่อยู่บนระนาบของการกระจาย (Dispersion plane) ซึ่งมีความสำคัญยิ่งต่อความสามารถในการแยกแยะพลังงานของระบบถ่ายเสียงซินไครอตรอน จะเห็นได้ว่าอัตราขยายของกระดกทุกอันในแนวแกนนี้ได้ถูกออกแบบให้มีค่าเท่ากับ 1.0 โดยกำหนดให้ entrance arm length มีค่าเท่ากับ exit arm length ซึ่งเป็นกรณีที่จะทำให้เกิดการบิดเบี้ยวของภาพน้อยที่สุด จากการพิจารณาผลที่ได้จากการ simulations โดยการเปรียบเทียบขนาดของลำแสง ณ ตำแหน่งที่มีการเกิดการไฟกั๊กของแต่ละกระดกจากตารางที่ 2 พบว่ามีความบิดเบี้ยวของภาพในแนวแกนตั้งมากกว่าในกรณีของกระดก M0 พบว่า มีความแตกต่างของขนาดของลำแสงเพียงประมาณ 2 เบอร์เซ็นต์ ส่วนสาเหตุที่ค่า FWHM ของลำแสง ณ ตำแหน่ง exit slit มีค่าน้อยกว่าค่า FWHM ของลำแสง ณ ตำแหน่ง entrance slit เนื่องจากอัตราของการไฟกั๊กของ varied line-spacing plane grating จากการเปรียบเทียบขนาดของลำแสง ณ ตำแหน่ง

ตารางที่ 1. รายละเอียดของคุณลักษณะของลำไส้เล็กtron ณ ตำแหน่งที่น่านแสงชินโคตรอนนาใช้งาน

ขนาดของลำไส้เล็กtron ในแกนนอน, $\sigma_x$	0.465 ม.m.
ขนาดของลำไส้เล็กtron ในแกนตั้ง, $\sigma_y$	0.191 ม.m.
บุน divergence ในแกนนอน, $\sigma_x$	0.4470 มิลิเดียน
บุน divergence ในแกนตั้ง, $\sigma_y$	0.0873 มิลิเดียน

ตารางที่ 2. FWHM ของร้าวแสงชินโคตรอนในแนวแกนนอนและในแนวแกนตั้ง (ในหน่วยของ มิลลิเมตร)  
ซึ่งได้อาการจำลองในคอมพิวเตอร์

ตำแหน่งที่สังเกต	แสงที่มีพลังงาน 20 eV		แสงที่มีพลังงาน 240 eV	
	แกนนอน	แกนตั้ง	แกนนอน	แกนตั้ง
แหล่งกำเนิดแสง	1.062	0.440	1.061	0.436
entrance slit	6.285	0.448	6.263	0.447
exit slit	10.184	0.181	10.198	0.055
สารตัวอย่าง	0.719	0.382	0.440	0.450

ตารางที่ 3. ค่าบุน  $\phi$  และ  $\psi$  ที่มีค่าน้อยที่สุดและที่มีค่ามากที่สุดของแหล่งกำเนิดแสงที่ได้อาการจำลอง  
สำหรับแสงที่มีพลังงาน 20 และ 240 eV

พลังงานของแสง (eV)	$\phi_{\min}$ (mrad)	$\phi_{\max}$ (mrad)	$\psi_{\min}$ (mrad)	$\psi_{\max}$ (mrad)
20	-2.500	2.500	-3.5186	3.6442
240	-2.500	2.500	-1.5882	1.6249

exit slit และตำแหน่งที่วางสารตัวอย่างจะเห็นได้อย่างชัดเจนว่ากระชาก M2 ทำให้เกิดความบิดเบี้ยวของภาพ เป็นอย่างมาก แต่เมื่อจากว่ากระชากดังกล่าวอยู่ในตำแหน่งหลังจาก monochromator จึงไม่มีผลต่อความสามารถแยกแยะพลังงานของระบบลำเลียงแสงชิน โคตรอน แต่อย่างไรก็ตามความบิดเบี้ยวของภาพดังกล่าวส่งผลกระทบต่อนาฬิกาที่ใหญ่ที่สุดของลำไส้แสง ซึ่งไม่เป็นที่ต้องการสำหรับการทดลองทางด้าน Angle-resolved photoemission

ค่าความสามารถในการแยกแยะพลังงานของระบบลำเลียงแสงชินโคตรอนจะถูกกำหนดโดยความกว้างของช่องเปิดของ entrance slit และขนาดของปีกมีขนาดเดิมจะทำให้ความ

สามารถในการแยกแยะสูงขึ้น ในทางทฤษฎีค่าความสามารถในการแยกแยะที่กำหนดโดยขนาดช่องเปิดของ slits สามารถคำนวณได้เมื่อทราบความกว้างของช่องเปิดของ slits ตามความสัมพันธ์ดังที่ได้รายงานในบทความที่น่าสนใจอยู่ในวารสารฉบับนี้ (ประชุม สั่งสิริฤทธิ์กุล และคณะ, 2544) แต่ในความเป็นจริงคุณลักษณะของแหล่งกำเนิดได้เกิดขนาดของแหล่งกำเนิดแสงและความคงของลำไส้ที่ปิดปล่ายออกน้ำร้อนเป็นปัจจัยที่สำคัญที่มีผลต่อความสามารถในการแยกแยะพลังงานของระบบลำเลียงแสงชินโคตรอน ดังนั้นจึงมีการเพิ่ม Aperture ซึ่งวงรอบระหว่าง entrance slit และกระชาก M1 ในกรณีที่มีความต้องการความสามารถในการแยกแยะที่สูง ขนาดช่องเปิด

ของ Aperture จะต้องมีขนาดเล็กลง ดังแสดงในรูปที่ 5 แสดงภาพด้วยวิธีของคำนวณและการกระจายความเรื่องของแสงในแนวแกนด้วยของแสงที่มีพัด้งงานสามภาพพัด้งงานคือ  $19.996, 20.000$  และ  $20.004$  eV ณ ตำแหน่งของ exit slit สำหรับขนาดของช่องเปิดของ Aperture ที่ต่างกัน เมื่อมีการเปิด Aperture ให้แสงผ่านได้ทั้งหมดจะทำให้เรามีสามารถแยกแสงทั้งสามค่าพัด้งงานออกจากกันได้ ดังแสดงในรูปที่ 5a ความสามารถในการแยกแสงพัด้งงานคือยิ่งเขียนเมื่อขนาดช่องเปิดมีขนาดยิ่งเล็กลง

ถ้าความสามารถที่แสดงในรูปที่ 6 เป็นค่าที่ได้จากการ simulations เมื่อกำหนดให้ขนาดช่องเปิดของ entrance slit และ exit slit ของแต่ละภาพพัด้งงานของไฟฟ่อนที่ทำให้เกิดความสามารถในการแยกแสงที่กำหนดโดยขนาดช่องเปิดของ slits ในทางทฤษฎีมีค่าเท่ากับ  $2 \times 10^{-4}$  เมื่อไม่มีการพิจารณาและเมื่อมีการพิจารณาผลของ slope errors ของกรรจรและเกรติงจะเห็นได้ว่าเมื่อมีการนำเอา slope error มาพิจารณาความพบว่าความสามารถในการแยกแสงพัด้งงานมีค่าเพิ่มขึ้น นั่นคือความสามารถในการแยกแสงพัด้งงานของระบบคำนวณแสงลดลง

นอกเหนือจากความสามารถในการแยกแสงของระบบคำนวณแสงแล้ว ในการทดสอบทางค้านไฟฟ่อนิวัตันยังคงต้องการความแม่นของแสงที่เพียบพร้อมที่จะทำให้ได้สเปกตรัมจากการวัดมีค่าทางสถิติที่ตีปริมาณความแม่นของแสงหรือปริมาณไฟฟ่อนต่อหนึ่งหน่วยเวลาที่ตอกระบบสารตัวอย่างที่ต้องการศึกษาต้องมีค่าอย่างน้อย 109 ไฟฟ่อนต่อหนึ่งวินาที ในรูปที่ 7 แสดงความแม่นของแสงหรือปริมาณของไฟฟ่อนที่ตอกระบบสารตัวอย่างต่อหนึ่งวินาที โดยปริมาณดังกล่าวได้จากการทำการ simulations โดยกำหนดค่าความสามารถในการแยกแสงพัด้งงานของ monochromator ที่กำหนดโดยขนาดความกว้างของช่องเปิดของ entrance slit และ exit slit ที่มีค่าเท่ากับ  $2 \times 10^{-4}$  จากการศึกษาพบว่าปริมาณความแม่นของแสง

ที่ตอกระบบสารตัวอย่างมีปริมาณเพียงพอสำหรับการทดสอบทางค้านไฟฟ่อนิวัตัน

## สรุป

จากการประเมินระบบคำนวณแสงชินโกรตรอนโดยการทำการจำลองสถานการณ์จริงโดยใช้โปรแกรมคอมพิวเตอร์ RAY พบว่าระบบคำนวณแสงคั่งกล่าวสามารถที่จะคำนวณแสงชินโกรตรอนจากเครื่องกำเนิดแสงสยามมีพัด้งงานที่อยู่ในช่วง  $20-240$  eV โดยที่แสงที่คำนวณได้มี energy resolution และมีความเบ็นเพียงพอสำหรับการทดสอบทางค้านไฟฟ่อนิวัตัน

## กิตติกรรมประกาศ

ผู้วิจัยขอขอบคุณ Dr. Franz Schaefers (BESSY) ที่อนุญาตให้ใช้โปรแกรม RAY ในงานวิจัยนี้

## เอกสารอ้างอิง

- ประชุม สั่งสมิรุทธิกุล, วีระพงษ์ แพสุวรรณ, ทักษิโภชิริ อะคิโน คากิซากิ (2544). การออกแบบระบบคำนวณแสงชินโกรตรอน แรกของเครื่องกำเนิดแสงสยาม. วารสารเทคโนโลยีสุรนารี. 2544: 123-130.
- B. Lai and F. Cerrina (1986). SHADOW - A Synchrotron Radiation Ray Tracing Program. Nucl. Instr. Meth. A 246: 337-341.
- F. Schaefers (1996). RAY: the BESSY Raytrace Program to Calculate Synchrotron Radiation Beamlines. Technischer Bericht, BESSY TB 202:1-37.
- P. Songsririthigul, P. Sombunchoo, B.N. Raja Sekhar, W. Pairsuwan, T. Ishii and A. Kakizaki. Comparison of Varied Line-spacing Plane Grating and Varied Line-spacing Spherical Grating Monochromators for the Siam Photon Source. Nucl. Instr. Meth. A (in press).